

日本海地震・津波調査

3. 津波および強震動の予測 3-1：津波予測

東京大学地震研究所

<研究目的>

陸域・海域での構造調査や古地震・古津波・活構造調査などに基づいて得られた断層モデルから、日本海沿岸における津波シミュレーションにより、沿岸での津波波高を予測する。個々の断層モデルに基づく確定論的シナリオモデルの他に、各地に影響を及ぼす可能性のある断層からのシナリオを組み合わせた確率論的な津波予測も行う。なお、本サブテーマでは日本海沿岸の全域について、沿岸での津波の高さを予測し、特定の港湾における浸水・遡上・構造物の影響については、波の分散性も考慮してサブテーマ(1)で実施する。

1

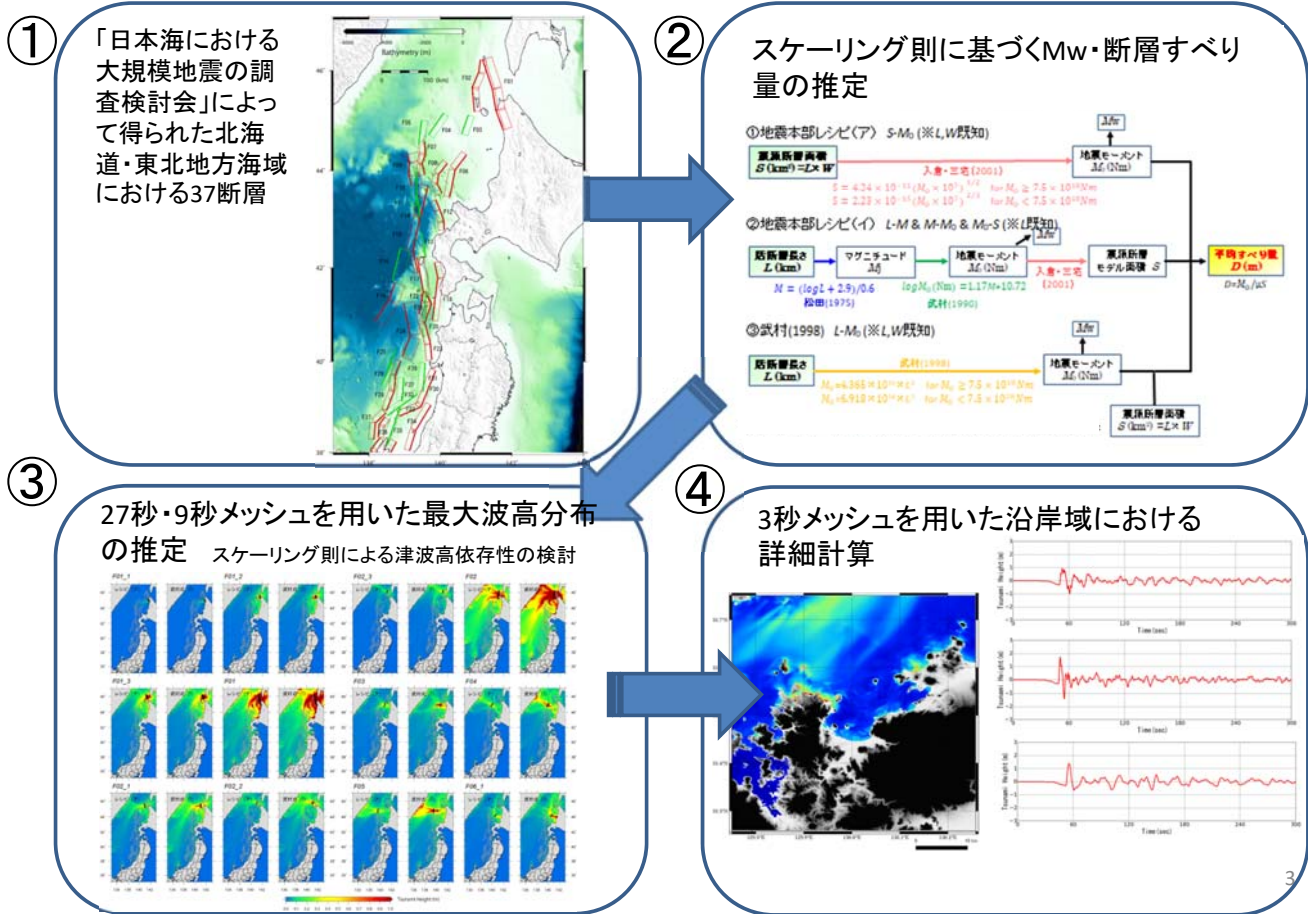
業務計画(平成25年度～平成32年度)

	H25	H26	H27	H28	H29	H30	H31	H32
北海道・東北沖周辺	↑ 地形データ・計算コード整備・検証					断層のリストアップ シナリオ型津波シミュレーション 確率論的な津波波高予測	低頻度巨大地震による津波高評価	
北陸沖周辺		断層のリストアップ シナリオ型津波シミュレーション 確率論的な津波波高予測						
山陰・九州沖周辺				断層のリストアップ シナリオ型津波シミュレーション 確率論的な津波波高予測				

平成30年度業務計画

主に北海道・東北地方海域を中心とする海底活断層・沿岸伏在断層について、海域構造調査や海陸統合構造調査により得られた断層モデルに基づき、シナリオ型津波シミュレーションを行う。また、当該沿岸に影響を及ぼす断層をリストアップする。

平成30年度の実施内容



① 津波断層モデル

日本海大規模地震に関する調査検討会による北海道・東北地方海域(F01~F37)の断層モデルに対して、スケーリング則の違いによるすべり量の検討を実施

運動モデル

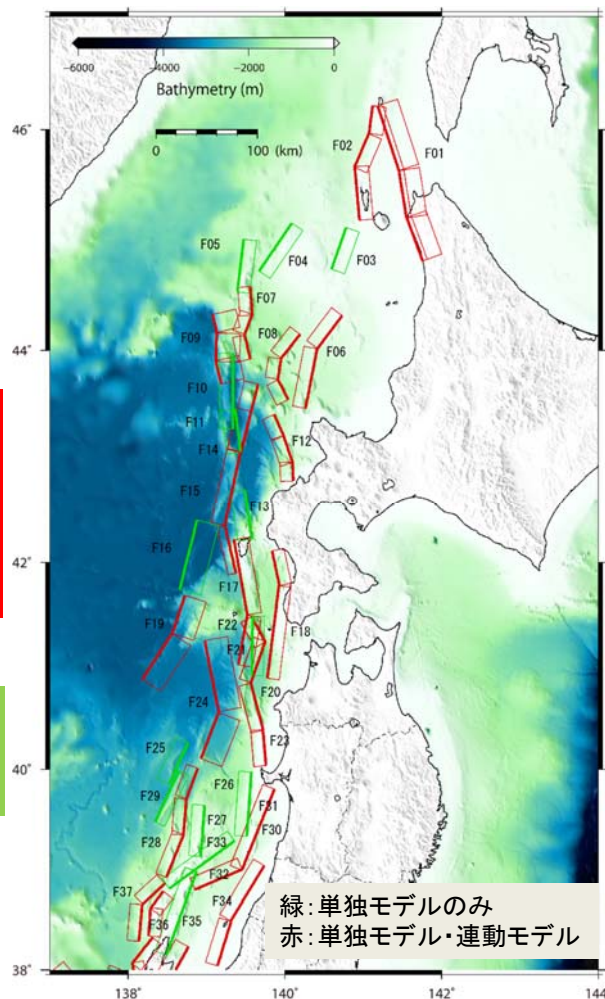
日本海大規模地震に関する調査検討会による北海道・東北地方海域(F01~F37)のうち、複数枚の断層から構成される21断層モデル(e.g., F02-1+F02-2, F02-1+F02-2+F02-3)

※日本海大規模地震に関する調査検討会による断層区分を超えた運動破壊(e.g., F16+F19)は考慮しない

単独モデル

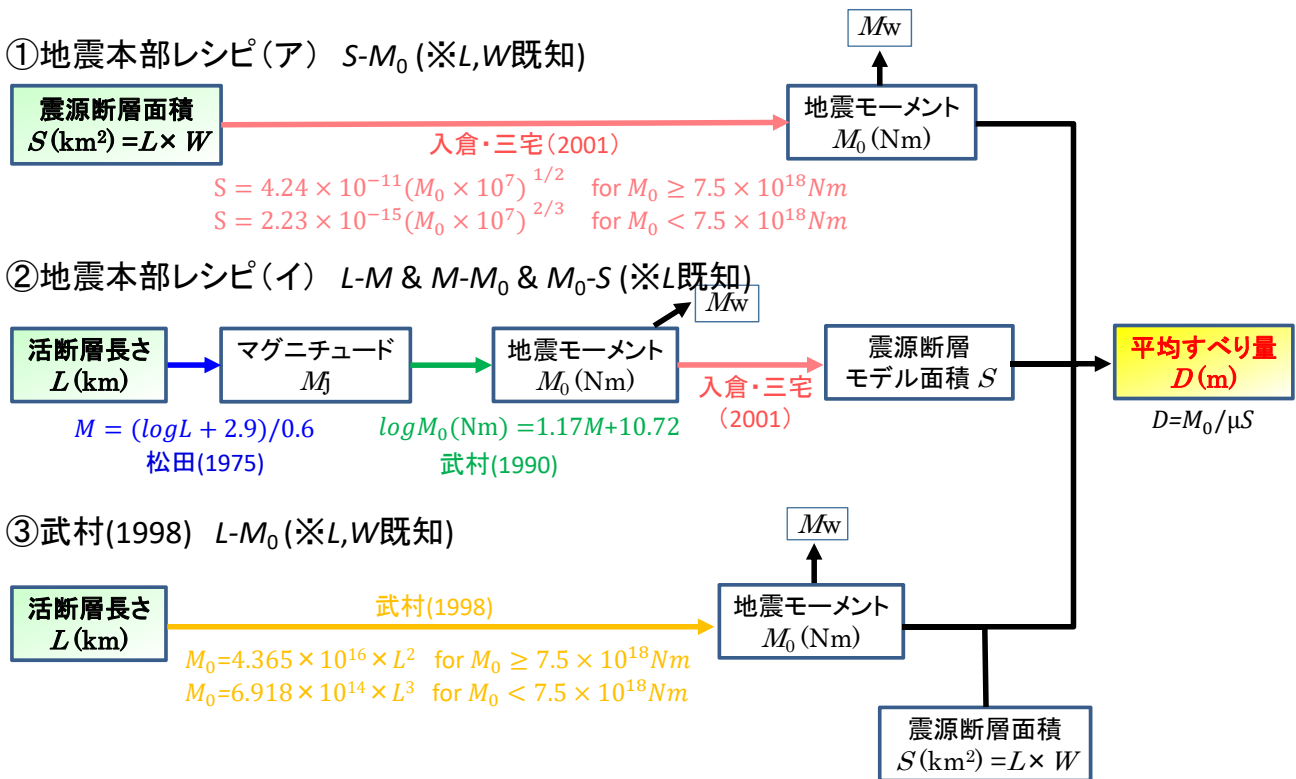
日本海大規模地震に関する調査検討会による北海道・東北地方海域(F01~F37)を構成する59断層モデル(e.g., F02-1, F02-2, F02-3, F3)

※ 断層長が20 km未満のものは対象外とした

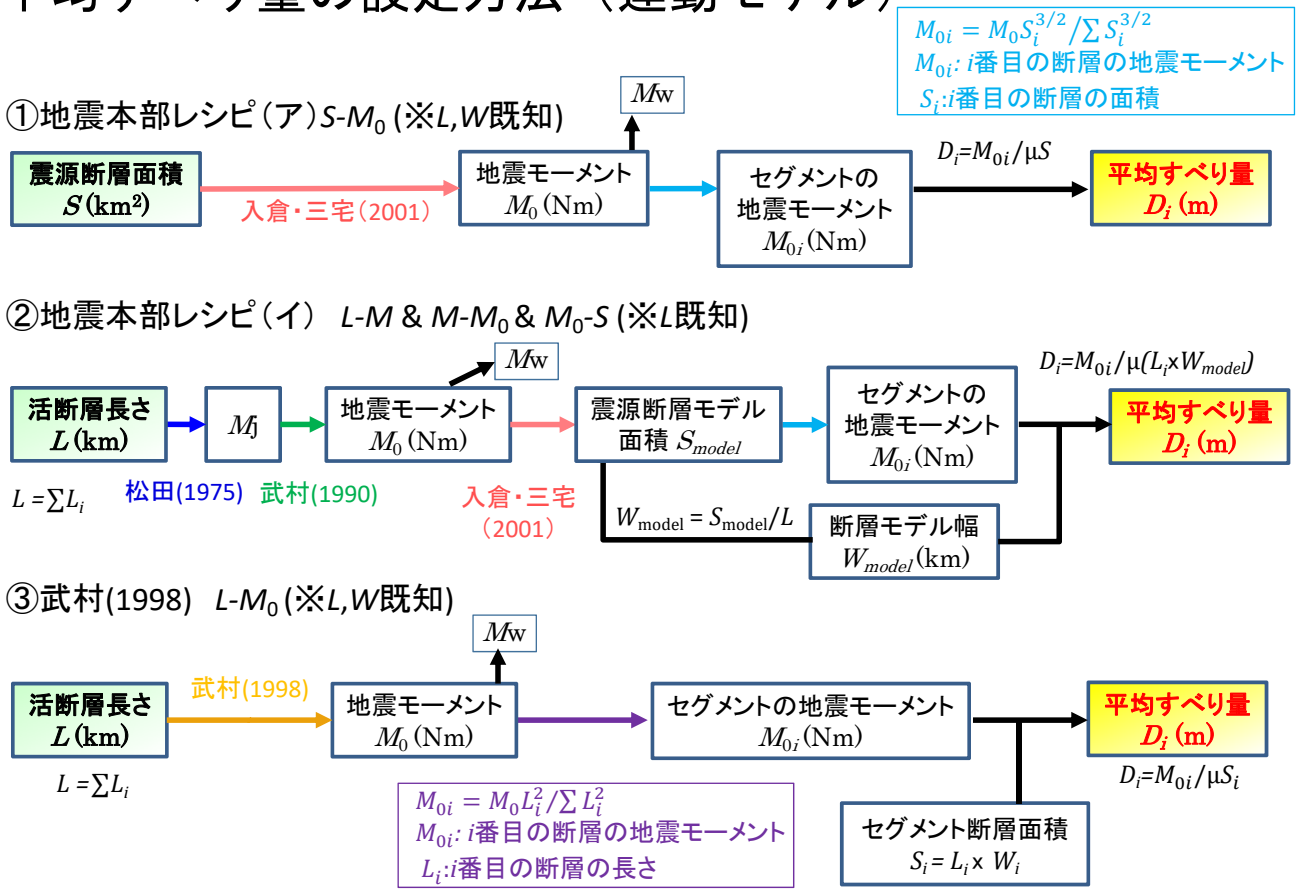


スケーリング則に基づくMw・断層すべり量の推定

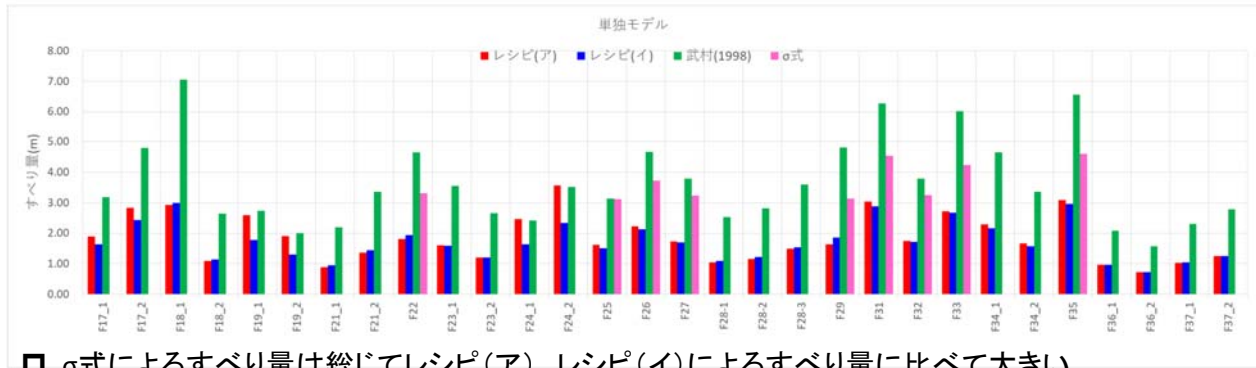
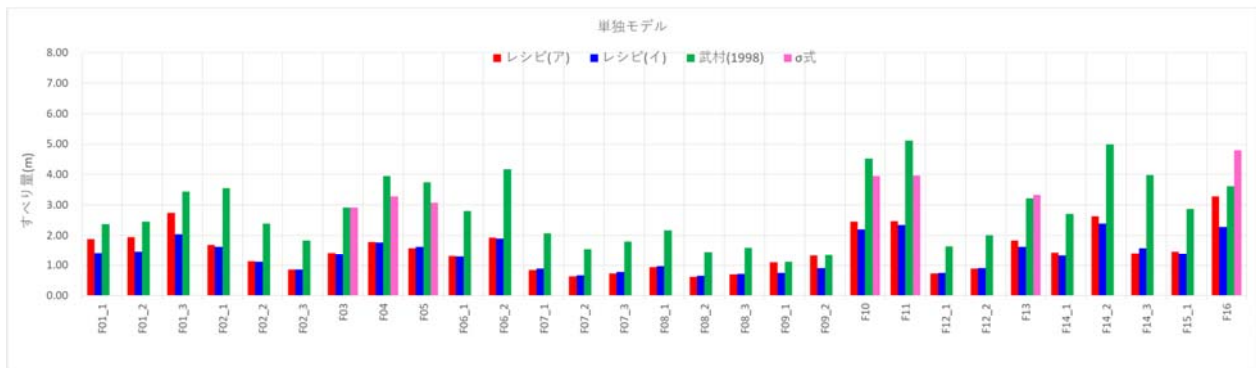
平均すべり量の設定方法（単独モデル）



平均すべり量の設定方法（運動モデル）



スケーリング則による断層すべり量の相違(単独モデル)



- σ 式によるすべり量は総じてレシビ(ア)、レシビ(イ)によるすべり量に比べて大きい
(※ σ 式はレシビ(ア)によるすべり量+1.5 m)
- 多くの場合、日本海における大規模地震に関する調査検討会による σ 式(レシビ(ア)によるすべり量+1.5 m)よりも、武村式によるすべり量のほうが大きい

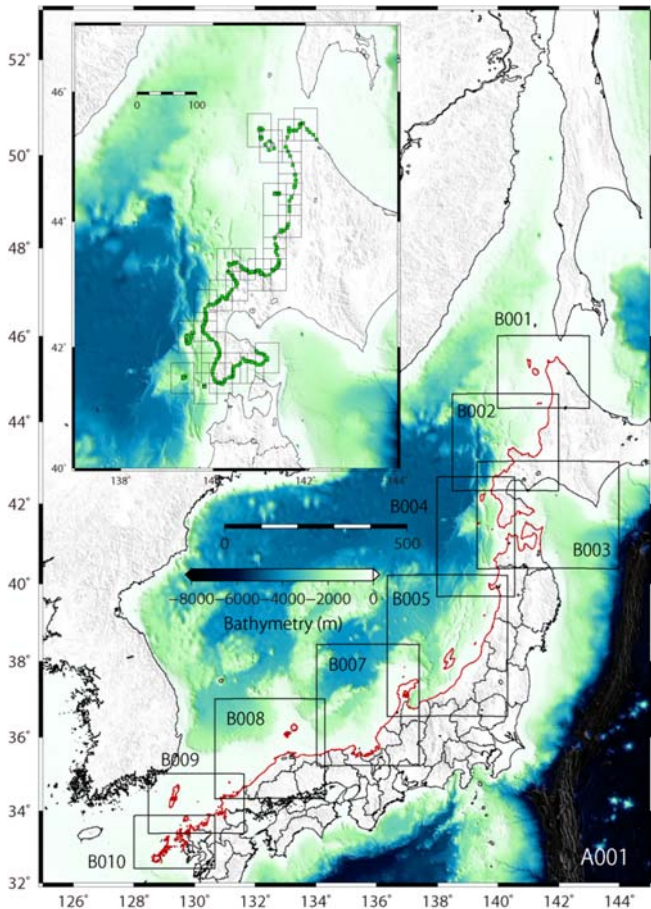
スケーリング則による断層すべり量の相違(連動モデル)



- σ 式によるすべり量は総じてレシビ(ア)、レシビ(イ)によるすべり量に比べて大きい
(※ σ 式はレシビ(ア)によるすべり量+1.5 m)
- 多くの場合、日本海における大規模地震に関する調査検討会による σ 式(レシビ(ア)によるすべり量+1.5 m)よりも、武村式によるすべり量のほうが大きい

レシビ(ア)によるすべり量は概ねレシビ(イ)によるすべり量と同程度になり、また昨年度までの結果から津波高についても同程度になることから、本年度はレシビ(ア)ならびに武村式によるすべり量を用いたシミュレーションを実施した。

③ 27秒・9秒メッシュを用いた最大津波高分布の推定

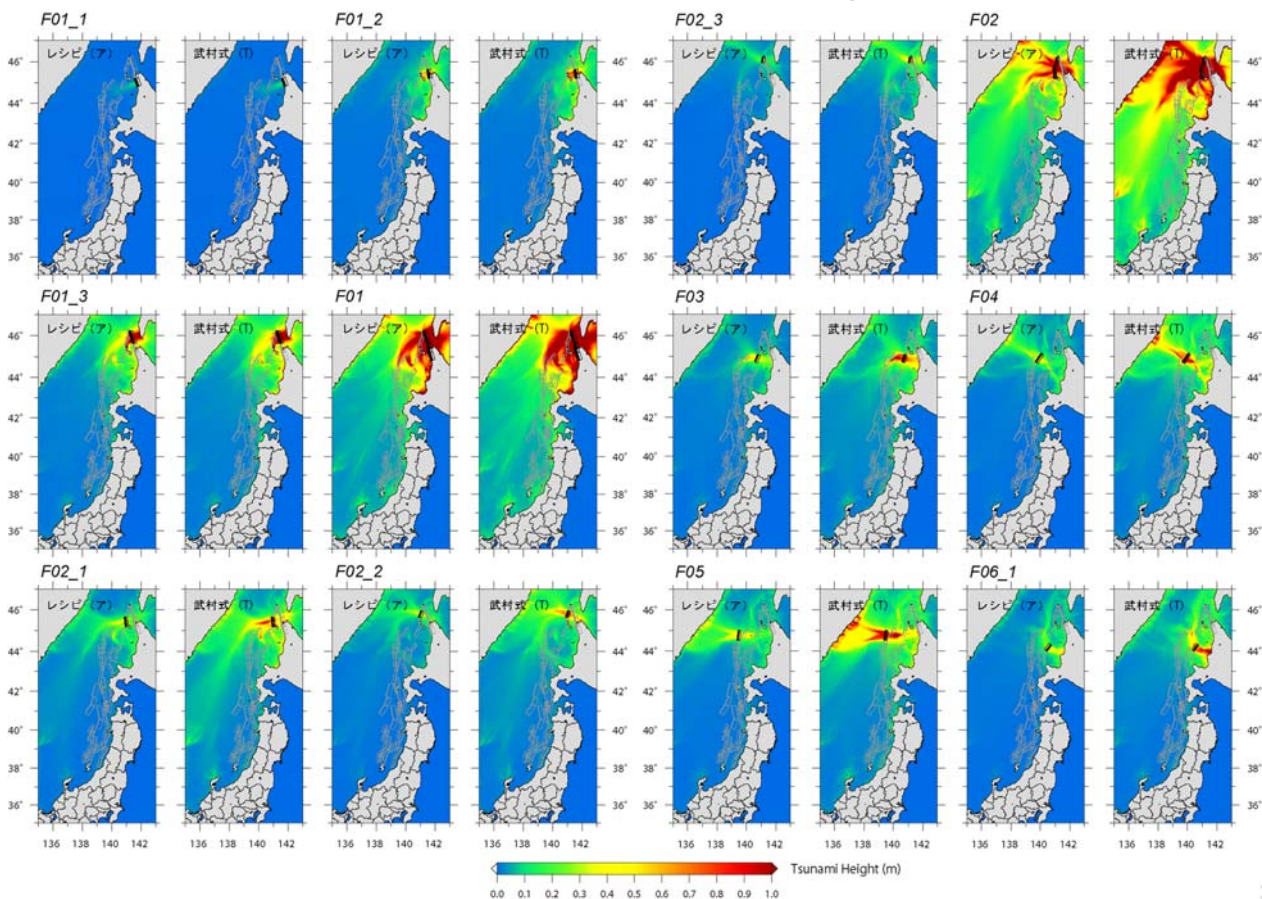


項目	設定値
空間格子間隔	9秒
時間格子間隔	0.5秒
基礎方程式	非線形長波式
境界条件	海域のみの津波伝播を考慮し、陸域週上は考慮しない
初期条件	Okada(1985)の方法を用いて設定
海底摩擦係数	Manning粗度係数n=0.025m ^{-1/3} /s (後藤・佐藤(1993)、土木学会(2002))
現象再現時間	地震発生後5時間

➢ 解析対象領域: 27秒メッシュ領域(A001)及び9秒メッシュ領域(B001～B010(但しB006は除く))。

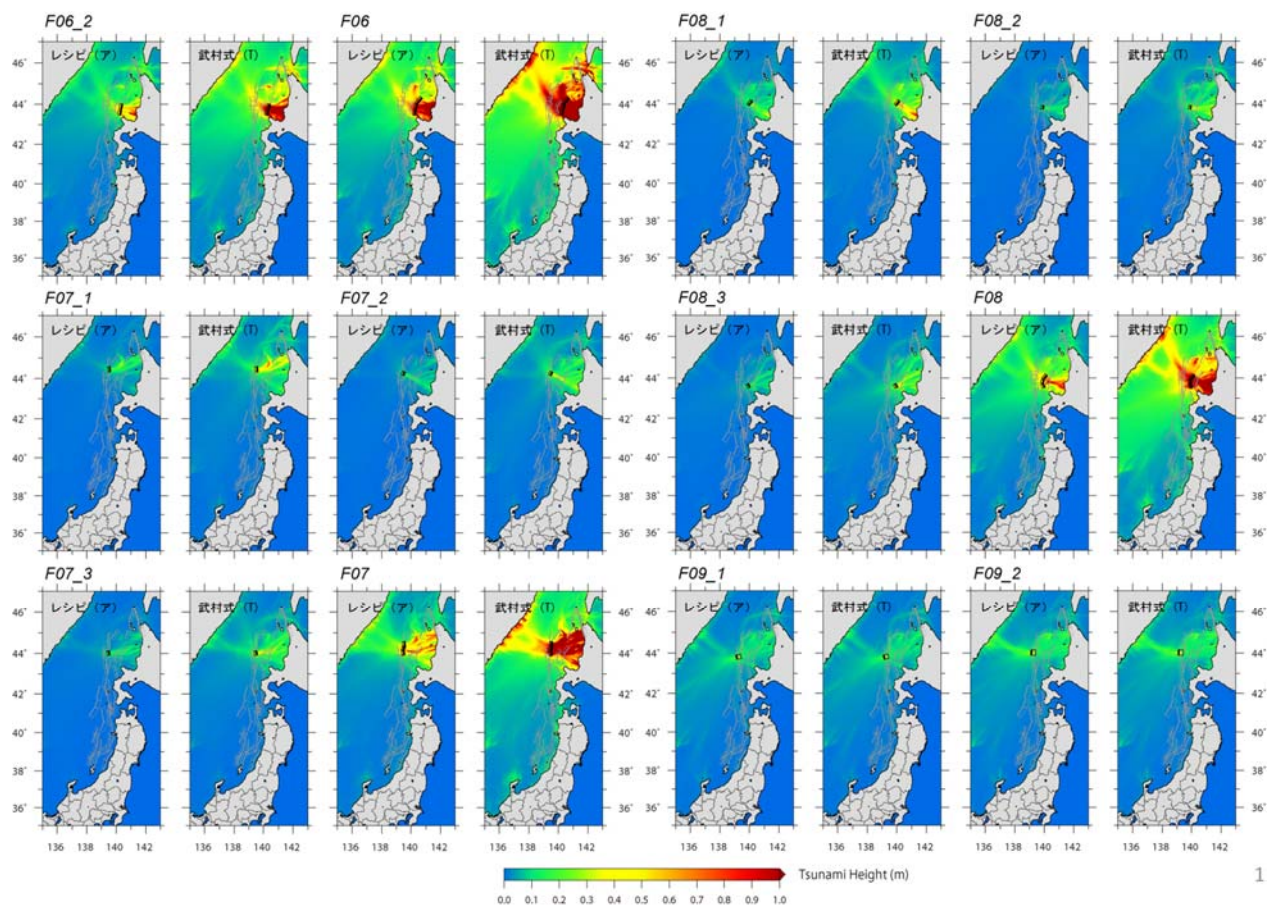
9

スケーリング則依存性の検討



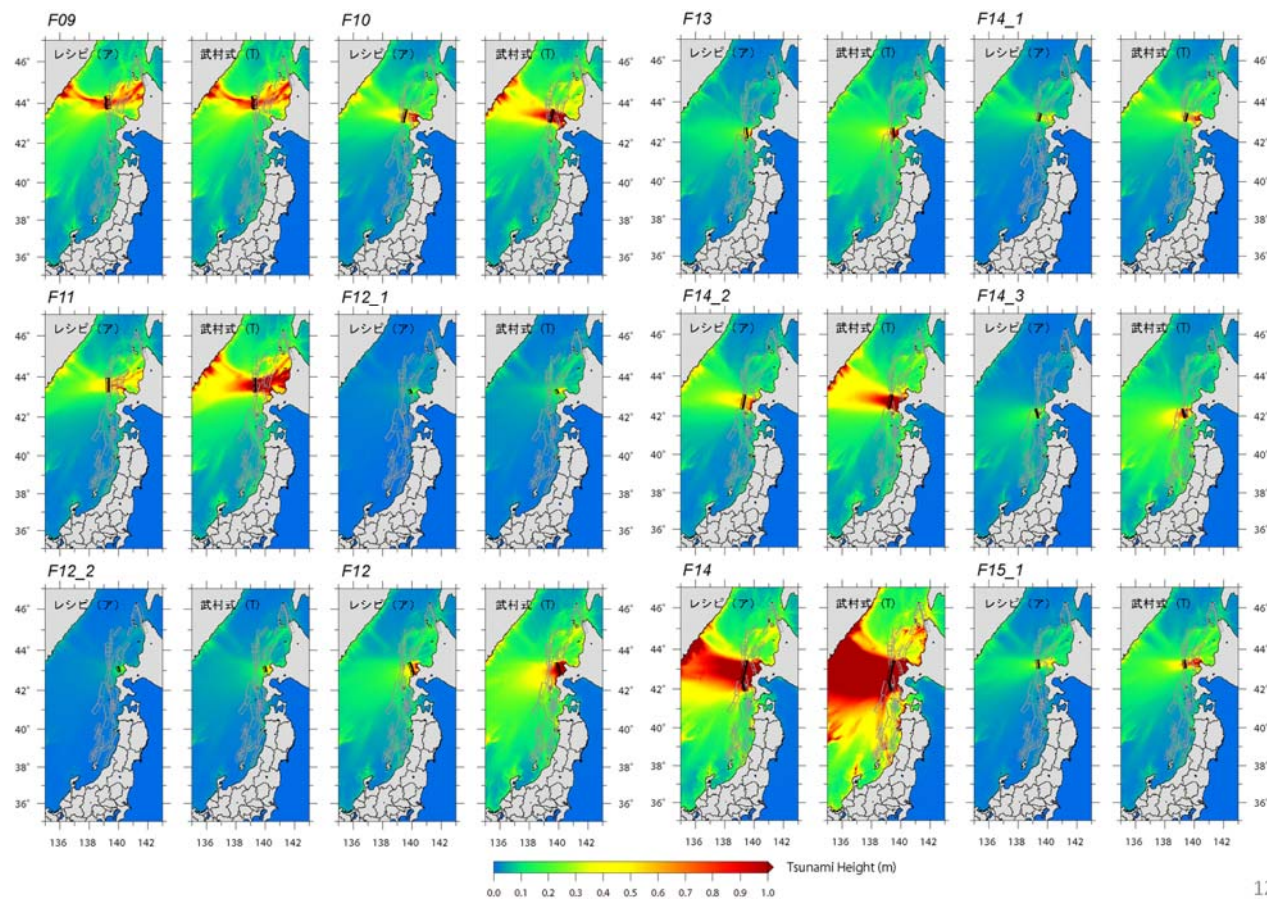
10

スケーリング則依存性の検討



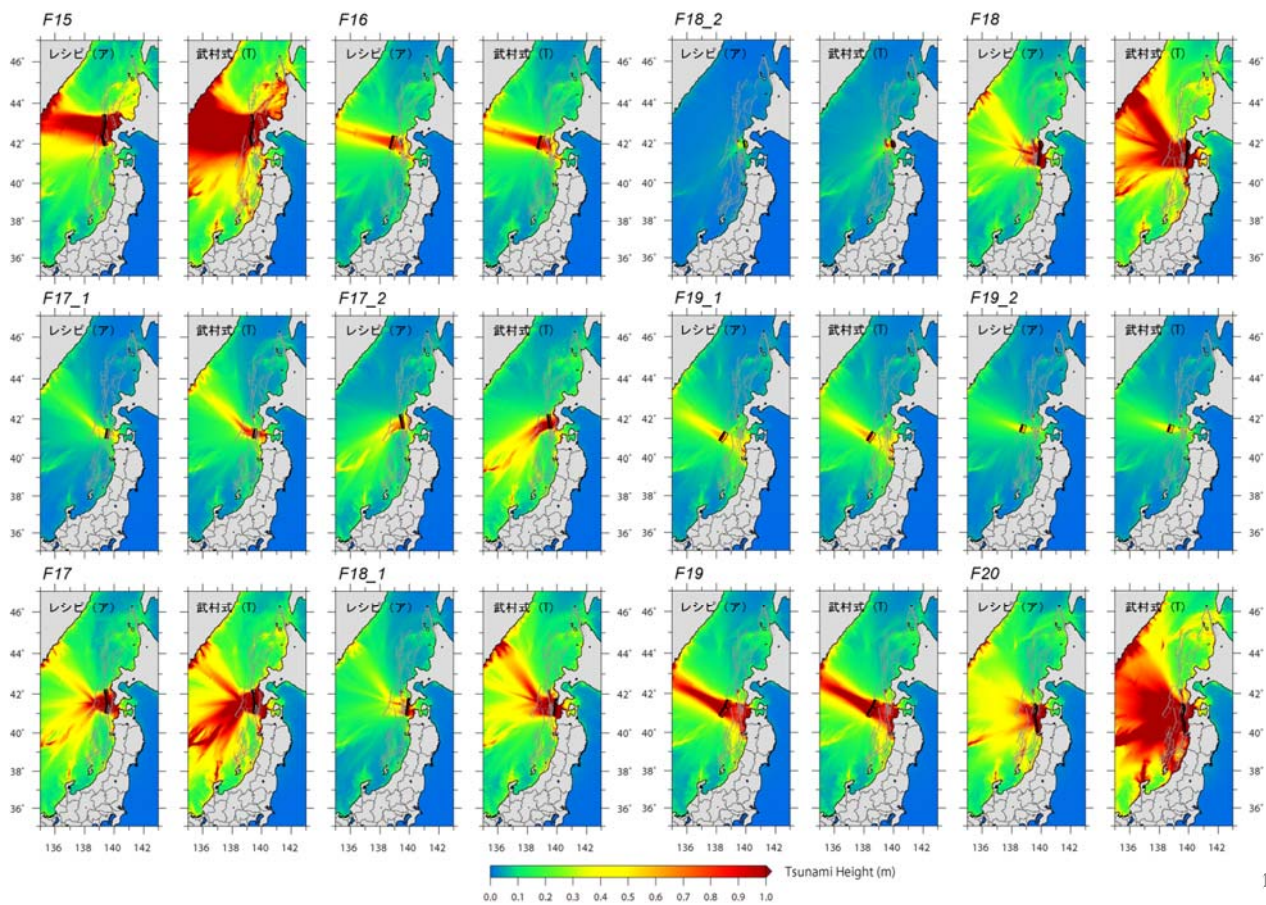
11

スケーリング則依存性の検討

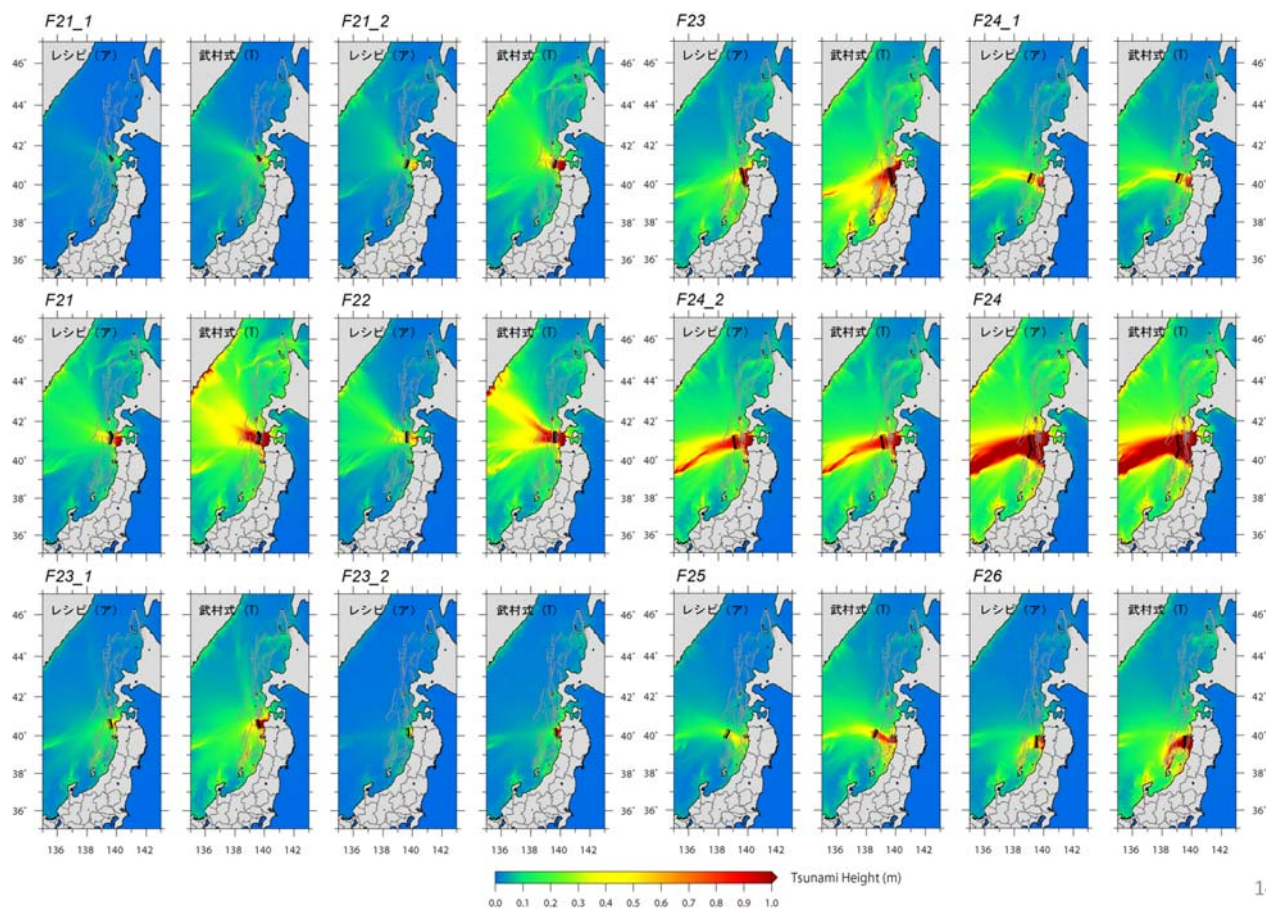


12

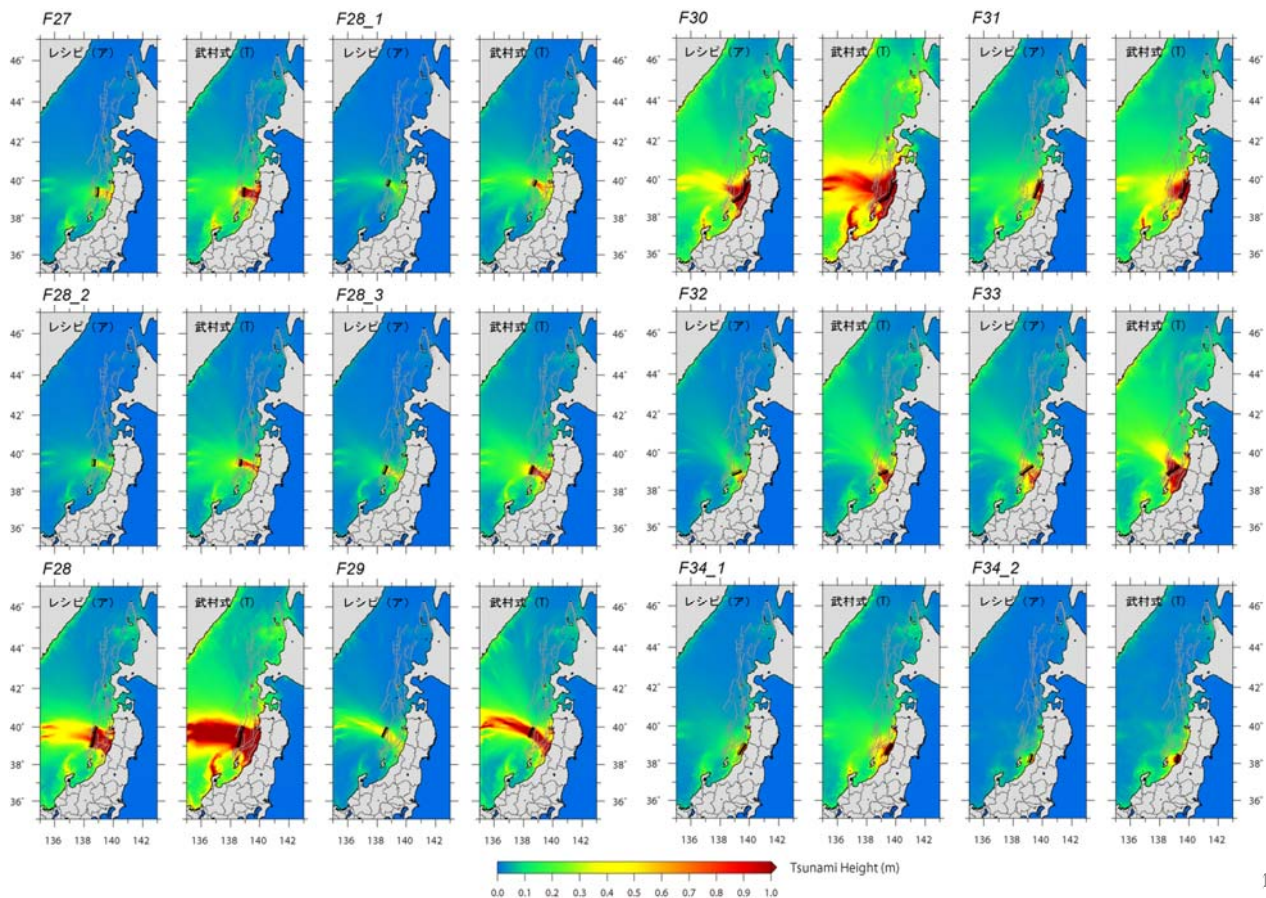
スケーリング則依存性の検討



スケーリング則依存性の検討

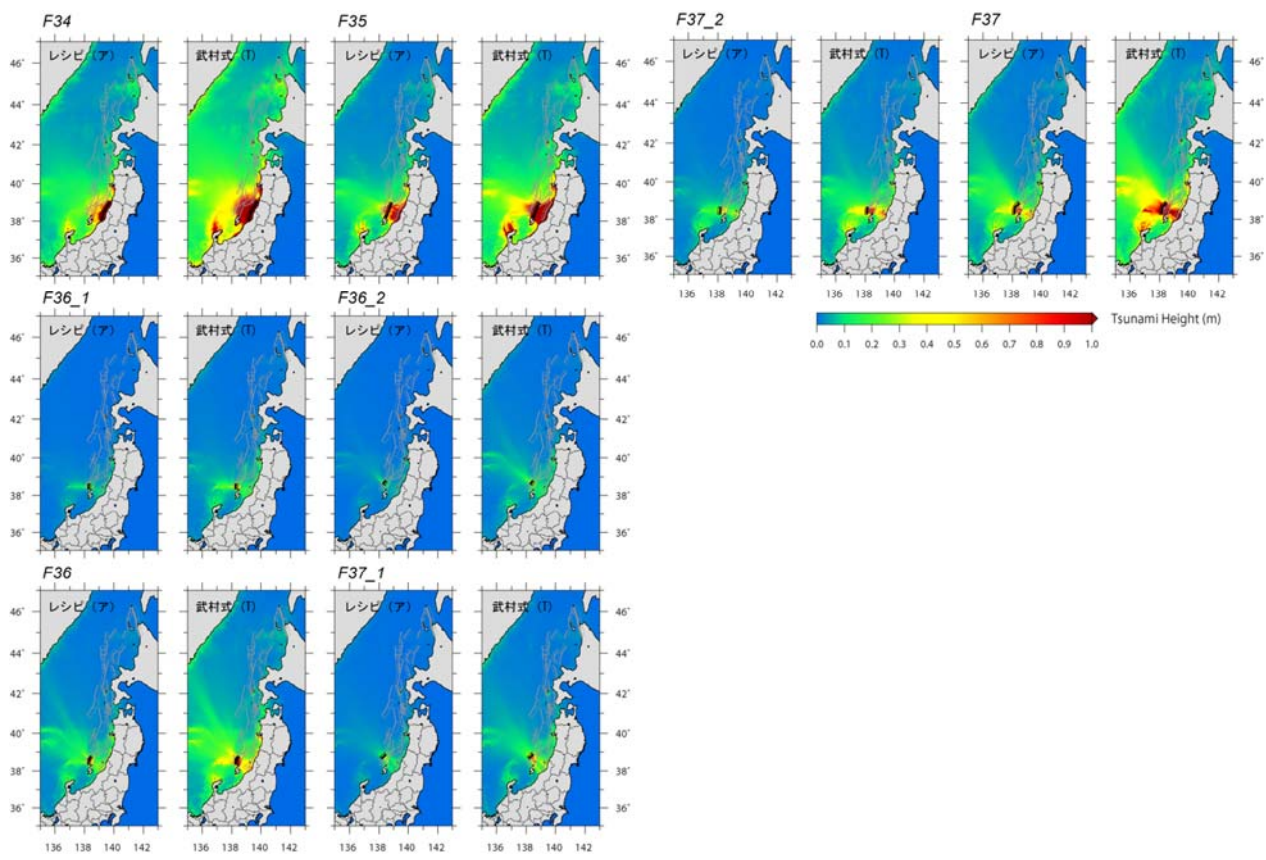


スケーリング則依存性の検討



15

スケーリング則依存性の検討



16

3秒メッシュを用いた詳細解析

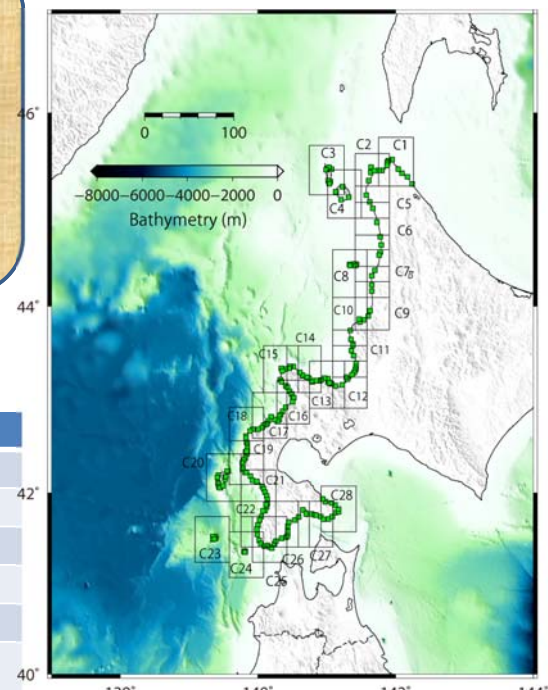
- ①9秒メッシュを用いた概略津波伝播結果を踏まえて、3秒メッシュの地形モデルC1～C28領域の28領域に関する津波溯上を再現できる詳細津波伝播解析を実施
- ②波源断層モデルについては、9秒メッシュ概略津波伝播解析の3秒メッシュ領域内における沿岸の最大水位を算出し、レシピ(ア)・武村式によるすべり量を用いた場合のそれぞれについて最も大きくなった波源断層モデルを選定した



合計56ケースについて3秒メッシュを用いた詳細解析を実施

項目	設定値
空間格子間隔	3秒
時間格子間隔	0.25秒
基礎方程式	非線形長波式
境界条件	陸域溯上を考慮する
初期条件	Okada (1985) の方法を用いて設定
海底摩擦係数	Manningの粗度係数 $n=0.025\text{m}^{-1/3}/\text{s}$ (後藤・佐藤(1993)、土木学会(2002))
構造物条件	大規模な防潮堤を設定
現象再現時間	地震発生後5時間

3秒メッシュ解析領域

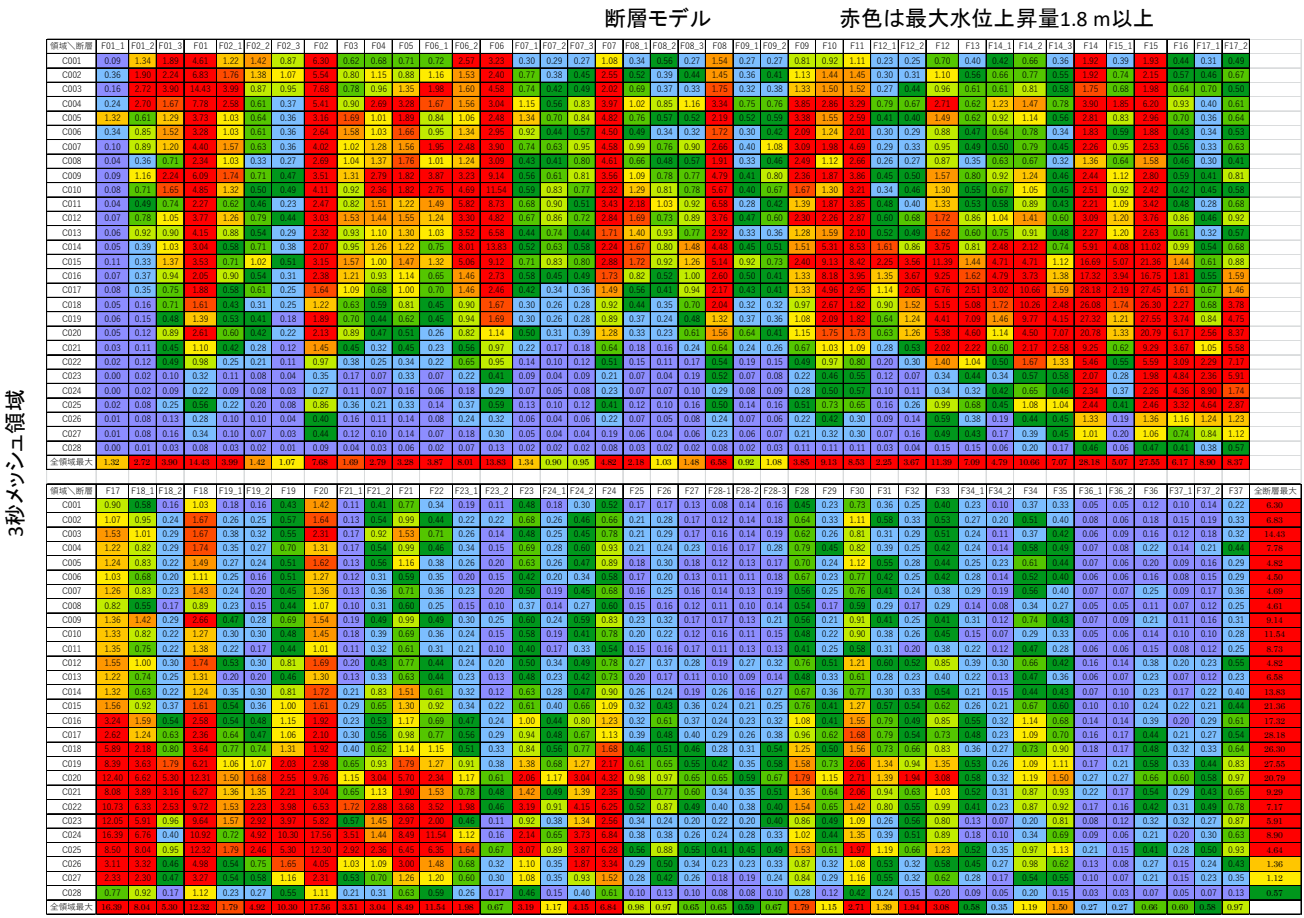


17

9秒計算における3秒メッシュ領域内での最大水位上昇量(レシピ(ア))

断層モデル	赤色は最大水位上昇量1.8 m以上																																																																																																																																																																																															
	9秒計算における3秒メッシュ領域内での最大水位上昇量(レシピ(ア))																																																																																																																																																																																															
C001	0.07	1.07	1.32	0.22	0.76	0.71	0.05	0.32	0.32	0.33	0.34	1.25	1.25	0.13	0.12	0.15	0.14	0.12	0.27	0.26	0.11	0.10	0.15	0.10	0.05																																																																																																																																																																							
C002	0.25	1.51	1.49	0.39	0.93	0.84	0.24	0.41	0.41	0.42	0.43	0.76	1.45	0.31	0.05	1.11	0.20	0.17	0.19	0.20	1.10	0.89	0.20	0.22	1.16	0.33	0.28																																																																																																																																																																					
C003	0.12	2.05	1.97	0.37	0.97	0.88	0.25	0.49	0.49	0.50	0.51	0.83	1.05	0.32	0.05	0.92	0.10	0.10	0.10	0.10	0.98	0.99	0.14	0.20	1.00	0.30	0.25																																																																																																																																																																					
C004	0.16	2.16	1.35	0.29	1.37	0.32	0.21	0.57	0.57	0.58	0.59	1.25	1.62	0.78	0.21	0.35	1.46	0.10	0.10	0.10	0.10	1.64	1.74	0.36	0.33	1.29	0.37	0.25																																																																																																																																																																				
C005	1.68	2.00	1.12	0.24	0.94	0.34	0.19	1.05	1.05	1.06	1.07	1.25	1.45	0.41	0.05	1.05	0.21	0.21	0.25	0.28	1.80	1.24	0.19	0.18	0.64	0.21	0.25																																																																																																																																																																					
C006	0.27	0.66	1.21	0.21	0.93	0.31	0.20	1.05	1.05	1.06	1.07	1.35	1.35	0.37	0.15	0.25	1.05	0.24	0.25	0.35	0.36	1.00	0.15	0.15	0.20	0.30	0.22	0.34																																																																																																																																																																				
C007	0.08	0.75	0.96	0.24	0.76	0.33	0.18	0.55	0.55	0.56	0.57	0.95	1.19	0.30	0.05	0.20	0.28	0.11	0.25	0.32	1.08	1.10	0.14	0.16	0.59	0.29	0.30																																																																																																																																																																					
C008	0.03	0.40	1.46	0.24	0.77	0.37	0.17	1.17	1.17	1.18	1.19	1.46	1.46	0.30	0.05	0.18	0.21	0.20	0.25	1.92	0.32	0.21	0.21	0.37	0.12	0.25																																																																																																																																																																						
C009	0.07	0.96	1.45	0.24	1.02	0.37	0.23	1.25	1.25	1.26	1.27	1.46	1.46	0.30	0.05	0.24	0.28	0.24	0.34	1.19	1.19	0.23	0.25	1.46	0.65	1.21																																																																																																																																																																						
C010	0.06	0.69	1.39	0.24	0.94	0.35	0.23	1.10	1.10	1.10	1.10	1.36	1.36	0.30	0.05	0.37	0.34	0.35	0.40	1.59	0.74	0.16	0.22	0.72	0.21	0.20																																																																																																																																																																						
C011	0.64	0.39	1.30	0.21	0.77	0.31	0.22	1.12	1.12	1.13	1.13	1.40	1.40	0.30	0.05	0.37	0.37	0.37	0.45	1.04	0.20	0.19	0.21	0.65	0.17	0.20																																																																																																																																																																						
C012	0.06	0.64	0.84	0.27	0.66	0.24	0.23	1.08	0.83	0.77	0.84	1.05	1.05	0.29	0.28	0.35	0.31	1.37	0.37	0.37	0.45	1.25	0.62	0.17	0.17	0.84	0.24	0.05																																																																																																																																																																				
C013	0.05	0.74	0.97	0.37	0.65	0.26	0.14	1.25	0.44	0.55	0.59	1.04	1.05	0.35	0.30	0.30	0.37	1.03	0.33	0.36	1.24	1.05	0.26	0.25	0.89	0.38	0.21																																																																																																																																																																					
C014	0.64	0.32	0.82	0.27	0.62	0.33	0.18	0.92	0.49	0.69	0.64	1.05	1.05	0.24	0.24	1.04	0.75	0.64	0.69	1.48	1.01	0.25	0.25	1.34	1.13	0.30																																																																																																																																																																						
C015	0.69	0.28	1.19	0.44	0.93	0.37	0.24	1.46	0.75	0.85	0.74	1.67	1.67	0.30	0.30	0.37	0.38	1.35	0.77	0.85	1.54	1.53	0.40	0.86	2.74	1.77	1.31																																																																																																																																																																					
C016	0.65	0.30	0.76	1.60	0.44	0.25	0.15	1.17	0.79	0.85	0.85	1.23	1.23	0.21	0.08	0.38	0.25	0.07	1.28	0.50	0.41	1.47	0.50	0.18	0.25	1.28	0.71	0.95																																																																																																																																																																				
C017	0.06	0.28	0.65	1.43	0.29	0.30	0.12	0.89	0.52	0.53	0.54	0.78	0.78	0.21	0.15	0.21	0.21	1.28	0.45	0.45	1.65	1.62	0.87	0.50	16.00	1.19	1.49																																																																																																																																																																					
C018	0.04	0.19	0.55	1.24	0.22	0.15	0.12	0.65	0.34	0.34	0.34	0.78	1.21	0.19	0.15	0.05	0.05	0.08	0.14	0.17	0.21	0.21	0.02	0.02	0.05	0.05	0.05																																																																																																																																																																					
C019	0.05	0.12	0.38	1.08	0.26	0.20	0.09	0.85	0.36	0.36	0.36	1.03	1.03	0.21	0.07	0.22	0.22	0.22	0.36	1.03	0.15	0.12	0.12	0.12	0.05	0.05	0.05																																																																																																																																																																					
C020	0.04	0.10	0.71	1.09	0.29	0.20	0.11	0.97	0.55	0.55	0.56	1.05	1.05	0.21	0.05	0.16	0.16	0.16	0.27	0.72	0.45	0.41	0.40	0.40	0.12	0.12	0.12																																																																																																																																																																					
C021	0.02	0.08	0.36	0.85	0.20	0.14	0.06	0.75	0.27	0.27	0.27	1.02	1.02	0.25	0.05	0.05	0.05	0.05	0.05	0.25	1.07	0.11	0.10	0.10	0.10	0.05	0.05	0.05																																																																																																																																																																				
C022	0.02	0.10	0.49	0.76	0.13	0.11	0.05	0.65	0.22	0.22	0.22	0.98	0.98	0.25	0.07	0.05	0.05	0.05	0.05	0.25	0.98	0.13	0.12	0.12	0.12	0.05	0.05	0.05																																																																																																																																																																				
C023	0.02	0.02	0.08	0.25	0.03	0.03	0.04	0.05	0.05	0.05	0.05	0.15	0.15	0.02	0.02	0.08	0.08	0.08	0.22	0.30	0.06	0.06	0.06	0.06	0.05	0.05	0.05																																																																																																																																																																					
C024	0.02	0.02	0.08	0.17	0.05	0.04	0.04	0.08	0.08	0.08	0.08	0.15	0.15	0.02	0.02	0.03	0.03	0.03	0.05	0.05	0.08	0.08	0.02	0.02	0.05	0.05	0.05																																																																																																																																																																					
C025	0.01	0.07	0.21	0.26	0.12	0.12	0.09	0.09	0.07	0.07	0.07	0.10	0.10	0.02	0.02	0.02	0.02	0.02	0.07	0.07	0.07	0.07	0.02	0.02	0.05	0.05	0.05																																																																																																																																																																					
C026	0.01	0.01	0.11	0.22	0.05	0.05	0.05	0.08	0.04	0.04	0.04	0.08	0.08	0.02	0.02	0.02	0.02	0.02	0.07	0.07	0.07	0.07	0.01	0.01	0.05	0.05	0.05																																																																																																																																																																					
C027	0.01	0.06	0.13	0.26	0.03	0.03	0.02	0.06	0.06	0.06	0.06	0.08	0.08	0.02	0.02	0.03	0.03	0.03	0.08	0.08	0.08	0.08	0.02	0.02	0.06	0.06	0.06																																																																																																																																																																					
C028	0.00	0.01	0.01	0.06	0.01	0.01	0.00	0.04	0.04	0.04	0.04	0.06	0.06	0.01	0.01	0.01	0.01	0.01	0.07	0.07	0.07	0.07	0.01	0.01	0.02	0.02	0.02																																																																																																																																																																					
全領域最大	1.65	4.17	4.39	4.17	1.26	0.81	0.82	1.25	1.62	1.62	1.62	4.04	4.04	0.37	0.37	0.37	1.61	1.61	1.61	1.61	1.61	1.61	1.61	1.61	1.61	1.61	1.61																																																																																																																																																																					
F17	F18	F18.2	F18.3	F19	F19.2	F19.3	F20	F21	F21.2	F21.3	F22	F23	F23.2	F24	F24.2	F24.3	F25	F26	F27	F27.2	F27.3	F28	F29	F30	F31	F32	F33	F34	F35	F36	F37.1	F37.2	F37.3	F37.4	F37.5	F37.6	F37.7	F37.8	F37.9	F37.10	F37.11	F37.12	F37.13	F37.14	F37.15	F37.16	F37.17	F37.18	F37.19	F37.20	F37.21	F37.22	F37.23	F37.24	F37.25	F37.26	F37.27	F37.28	F37.29	F37.30	F37.31	F37.32	F37.33	F37.34	F37.35	F37.36	F37.37	F37.38	F37.39	F37.40	F37.41	F37.42	F37.43	F37.44	F37.45	F37.46	F37.47	F37.48	F37.49	F37.50	F37.51	F37.52	F37.53	F37.54	F37.55	F37.56	F37.57	F37.58	F37.59	F37.60	F37.61	F37.62	F37.63	F37.64	F37.65	F37.66	F37.67	F37.68	F37.69	F37.70	F37.71	F37.72	F37.73	F37.74	F37.75	F37.76	F37.77	F37.78	F37.79	F37.80	F37.81	F37.82	F37.83	F37.84	F37.85	F37.86	F37.87	F37.88	F37.89	F37.90	F37.91	F37.92	F37.93	F37.94	F37.95	F37.96	F37.97	F37.98	F37.99	F37.100	F37.101	F37.102	F37.103	F37.104	F37.105	F37.106	F37.107	F37.108	F37.109	F37.110	F37.111	F37.112	F37.113	F37.114	F37.115	F37.116	F37.117	F37.118	F37.119	F37.120	F37.121	F37.122	F37.123	F37.124	F37.125	F37.126	F37.127	F37.128	F37.129	F37.130	F37.131	F37.132	F37.133	F37.134	F37.135	F37.136	F37.137	F37.138	F37.139	F37.140	F37.141	F37.142	F37.143	F37.144	F37.145	F37.146	F37.147	F37.148	F37.149	F37.150	F37.151	F37.152	F37.153	F37.154	F37.155	F37.156	F37.157	F37.158	F37.159	F37.160	F37.161	F37.16

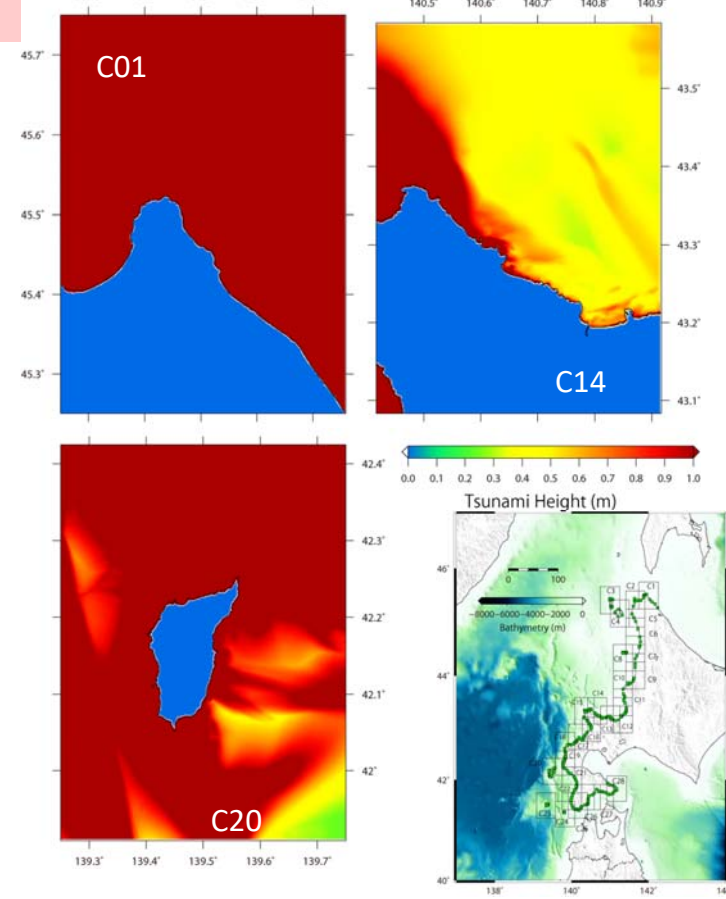
9秒計算における3秒メッシュ領域内の最大水位上昇量(武村式)



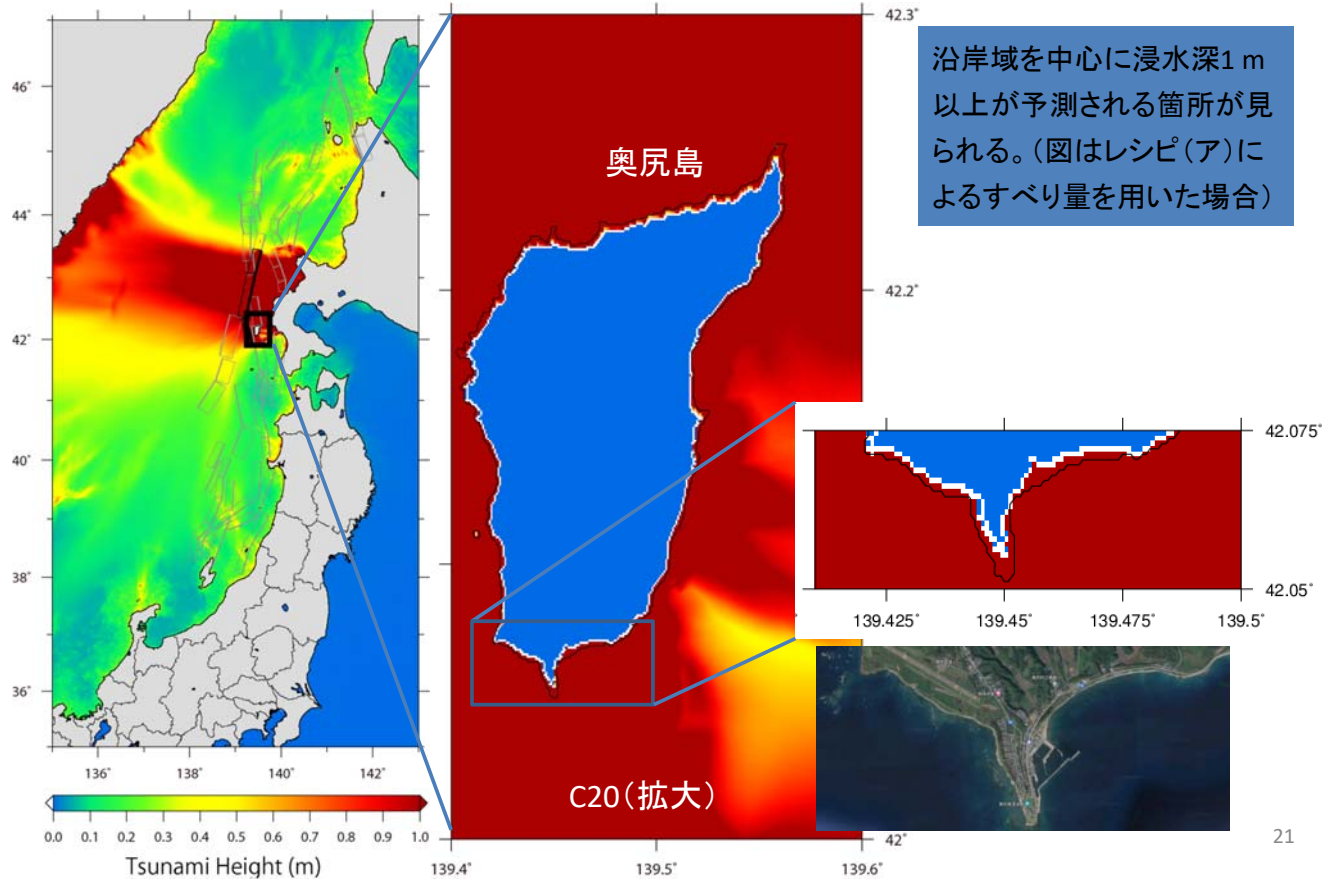
3秒メッシュを用いた詳細解析

3秒メッシュ計算における断層モデル

	レシピ(ア)	武村(1998)
C001	F01	F02
C002	F01	F01
C003	F01	F01
C004	F01	F01
C005	F09	F07
C006	F01	F07
C007	F01	F11
C008	F09	F07
C009	F06	F06
C010	F06	F06
C011	F06	F06
C012	F01	F06
C013	F01	F06
C014	F15	F06
C015	F15	F15
C016	F14	F14
C017	F14	F14
C018	F14	F15
C019	F14	F15
C020	F14	F15
C021	F17	F15
C022	F17	F17
C023	F17	F17
C024	F17	F20
C025	F17	F18
C026	F24	F18
C027	F17	F18
C028	F18	F18



3秒メッシュを用いた詳細解析 (F14断層によるC20領域における詳細計算)

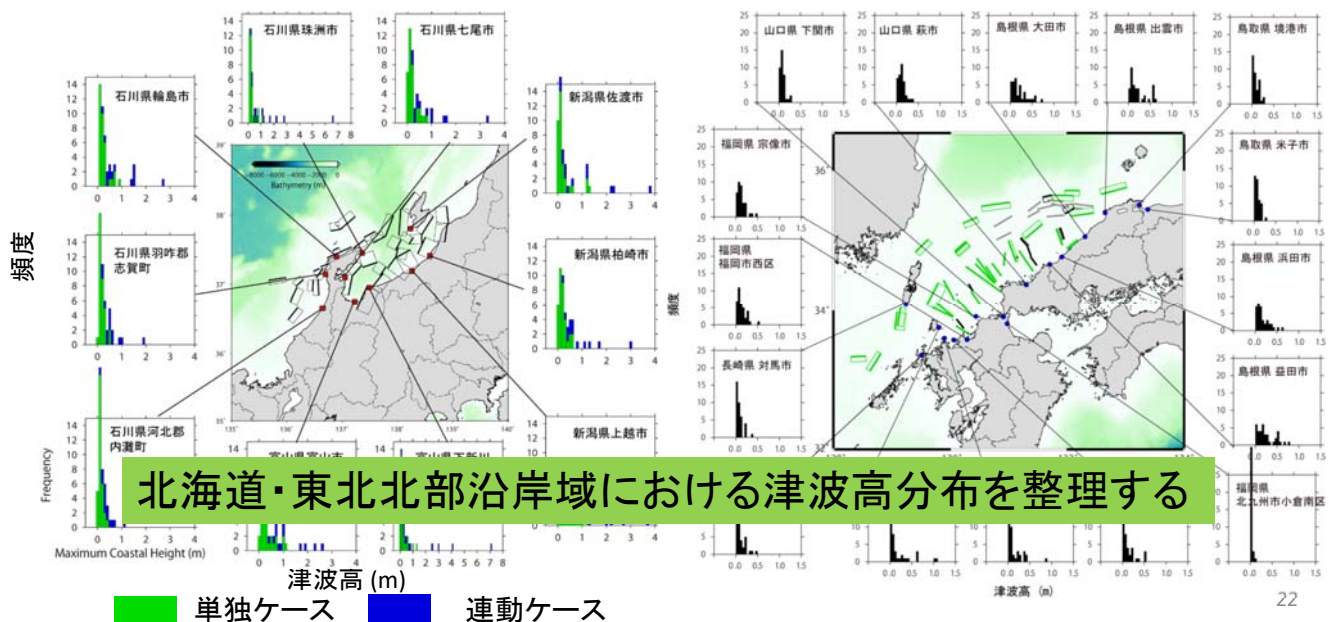


平成31年度実施計画

主に北海道・東北北部海域を中心とする海底活断層・沿岸伏在断層について、海域構造調査や海陸統合構造調査により得られた断層モデルに基づき、引き続きシナリオ型津波シミュレーションを実施する。また、当該沿岸に影響を及ぼす断層について、津波発生確率の推定を行い、確率論的な津波波高予測を行う。

北陸沖海域の断層モデルによる日本海沿岸域(新潟県～石川県)における津波高の頻度分布(H27)

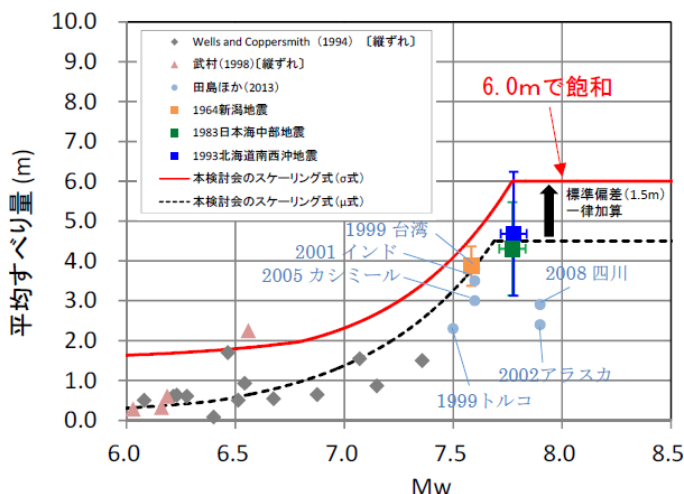
山陰～九州沖の断層モデルによる日本海沿岸域(鳥取県～長崎県)における津波高の頻度分布(H29)



参考

『日本海における大規模地震に関する調査検討会』による平均すべり量の設定(σ式)

平均すべり量の設定



日本海における最大クラスの津波断層モデルおよびすべり量について
(平成28年3月)

$$M_o = \left(2.23 \times 3.43 \times 10^{10} \times D_{\mu} \right)^3 \times 10^{-13} \quad (M_w < 6.5) \quad (3-1 \text{ 式})$$

$$M_o = (4.24 \times 3.43 \times 10^{10} \times D_{\mu})^2 \times 10^{-3} \quad (6.5 \leq M_w < 7.7) \quad (3-2 \text{ 式})$$

$$D_{\mu} = 4.5 \quad (7.7 \leq M_w) \quad (3-3 \text{ 式})$$

日本海における最大クラスの津波断層モデルの平均すべり量

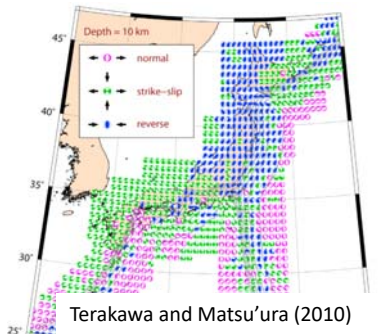
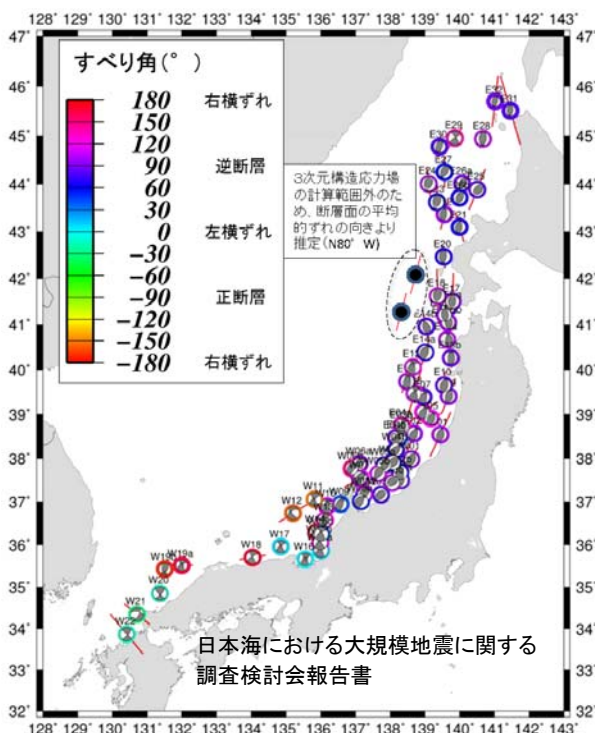
$$D_{\sigma} = D_{\mu} + 1.5 \quad (4 \text{ 式})$$

『日本海における大規模地震に関する調査検討会報告書』による

23

参考

『日本海における大規模地震に関する調査検討会』によるすべり角の設定



- ◆ 断層面上の最大せん断応力の方向と一致すると仮定して、すべり角を推定することを基本としている。応力の方向は、セントロイドモーメントテンソル(CMT)解データに基づいて推定した日本島弧全域三次元構造応力場(Terakawa and Matsu'ura, 2010)の結果を使用している。
- ◆ 西日本の日本海側の横ずれ断層の地震である1943年鳥取地震での地表地震断層の露頭における垂直・水平変位量から求めたすべり角の値を参考に、横ずれ断層において低角のすべり角を考慮する場合の値を35°(145°)とし、津波への影響を検討している。

24